

CRANEO DE LA EDAD DEL BRONCE PROCEDENTE DE LA "CUEVA DE LA PALOMA" (LA ZUBIA, GRANADA)

M. GARCIA SANCHEZ

En marzo de 1978, el cráneo objeto del presente trabajo fue depositado en el Laboratorio de Antropología de la Facultad de Medicina por D. Francisco Carrión Méndez, miembro del Departamento de Prehistoria de la Universidad de Granada. Procede de la "Cueva de la Paloma", situada a unos 5 km. al SE. de La Zubia (Granada), siguiendo la carretera que conduce a Cumbres Verdes.

Los materiales arqueológicos de la citada cueva, según sus descubridores, pertenecerían al Eneolítico y al Bronce Argárico, pudiendo consultarse las circunstancias del hallazgo y los resultados de su estudio en otro lugar de la revista¹.

En la provincia de Granada existen numerosos yacimientos, pertenecientes a estos mismos períodos, que han proporcionando también restos humanos. Algunos de estos materiales antropológicos permanecen inéditos y otros se hallan actualmente en estudio. Una excelente sistematización del Eneolítico y de la Edad del Bronce en esta región de Andalucía Oriental ha sido efectuada recientemente por el Prof. A. Arribas².

CARACTERES GENERALES DEL CRANEO

Estado de conservación.—Cráneo completo, sin mandíbula, en buen estado de conservación. Existen pérdidas de sustancia ósea que afectan al centro del parietal izquierdo (2 × 1 cm.) y parte anterior del cóndido occipital del mismo lado, así como en ambas paredes orbitarias externas y arcada alveolar izquierda, desde la línea media hasta el alvéolo del M¹. Faltan la apófisis frontal del malar izquierdo, la arcada cigomática derecha y ambas apófisis estiloides, estando rotos los huesos nasales en sus tres cuartos inferiores.

No se conserva ninguna pieza dentaria, por reabsorción de todos los alvéolos, excepto los de los incisivos centrales y el del I² derecho, sobre el cual se observa un quiste reticular, habiendo caído *post-mortem* dichos dientes.

Suturas.—Sinostosis completa de la sincóndrosis eseno-basilar, sutura sagital y primera y tercera porción de la coronal, aunque no están totalmente borradas; iniciada la sinostosis en L¹ y abiertas las restantes en la tabla externa. El decurso de las suturas es de mediana complicación, excepto en las porciones centrales de la coronal, sagital y lambdoidea, que son algo complicadas (grado 4 de Broca en S²).

Sexo y edad.—Entre los caracteres generales del cráneo estudiado destacan su mediano tamaño (euencéfalo) y regular espesor de los huesos de la bóveda (5 mm. en bolsas parietales), con acusado desarrollo de los relieves de inserciones musculares y fuerte dolicocefalia. Se apoya sobre las apófisis mastoides, grandes y robustas, lo que unido a las restantes características diferenciales del sexo, indican que el ejemplar perteneció a un sujeto adulto masculino, cuya edad puede estimarse aproximadamente en unos 40 años, si

se atiende a la localización y al grado de sinostosis de las suturas de la bóveda, según el esquema establecido por Dérobert y Fully³.

CARACTERISTICAS MORFOLOGICAS

Norma superior (Lám. I, a).—El contorno de la bóveda en esta norma puede calificarse de ovoide-elipsoide, con bolsas frontales poco acusadas, reunidas en una sola central, y protuberancias parietales redondeadas y poco salientes. Criptocigo. Doliocráneo acentuado por el índice cefálico, próximo a la hiperdolicocránea (dif. = 1,6). Esferometope según el índice transverso frontal y metriometope, casi en el límite con la euro-metopía (dif. = 0,3), por el transverso fronto-parietal. Ausencia de ambos agujeros parietales y occipucio algo ancho y prominente.

Norma lateral (Lám. I, b; II, b).—El perfil sagital es típicamente masculino en la región frontal, ascendiendo bastante inclinado hasta el vértex, con marcado aplanamiento post-obélico; perfil redondeado del occipucio, que es muy prominente, con región subiniaca muy corta y aplanada. Nasio poco hundido bajo la glabella, que es de mediano desarrollo (tipo II-III de Martin), con arcos superciliares algo salientes. Apófisis mastoideas grandes y robustas, con cresta supramastoidea acentuada y vestigio de la sutura petro-escamosa posterior en ambos lados, con agujero mastoideo intrasutural. Crotáfites marcadas, sobre todo las inferiores, que se siguen fácilmente en todo su trayecto. Pterio con sutura eseno-parietal en H, muy estrecha (tipo e de Martin). Arcada cigomática fuerte y gruesa, con tubérculo post-glenoideo muy débil. Inio mediano (tipo 2 de Broca). Camecráneo, próximo a la ortocránea (dif. = 0,6), por el índice vértico-longitudinal y ortocráneo según el aurículo-longitudinal.

El perfil de la cara superior es mesognato, tanto por el ángulo de Weisbach como por el índice gnático de Flower, que tiende a la ortognatia (dif. = 0,98), resultando también mesognato por el ángulo del perfil total, aunque tendiendo a prognato (dif. = 1,1), y por el del perfil nasal, mientras que el ángulo del perfil alveolar denota un acusado prognatismo subnasal. Espina nasal anterior poco saliente (tipo 2 de Broca).

Norma anterior (Lám. I, c).—La frente es estrecha e inclinada, con las protuberancias frontales reunidas en una sola central. La glabella y arcos superciliares son de mediano desarrollo (tipo II de Cunningham y Schwalbe). Presencia de escotaduras supraorbitarias en ambos lados. La cara es baja y estrecha, resultando meseno según el índice facial superior, aunque tendiendo a la leptenia (dif. = 1,28). Orbitas de mediana anchura y muy bajas, de contorno rectangular, con el eje transverso fuertemente inclinado hacia abajo y afuera, clasificándose por el índice orbitario medio como cameconcas, pero próximas al límite con la mesoconquia (dif. = 0,69). Mediana anchura interorbitaria, con sutura naso-frontal semilunar. Abertura piriforme muy estrecha, con borde inferior cortante (tipo 3 de Martin), y espina nasal anterior débil. Nariz de mediana altura, pero muy estrecha, clasificándose en la leptorrinia acentuada por el índice nasal. Los huesos malares son rugosos, fuertes y poco salientes y el maxilar superior, de mediana anchura, con fosa canina amplia y profunda.

Norma posterior (Lám. II, c).—En esta norma, el contorno de la bóveda es bombiforme, con protuberancias parietales bajas y poco salientes y arco transversal algo abovedado. Metriocráneo, tendiendo a la acrocránea, por los índices vértico y aurículo-transversal. Inio bien marcado y líneas nucales fuertemente desarrolladas. Se observa un wormiano lámbdico, de tamaño mediano (tipo III de Broca), y otro más pequeño y alargado (tipo II) en L¹ izquierda.

Norma inferior (Lám. II, a).—Región maxilar alargada y de mediana anchura, resultando dolicoouránico, pero tendiendo a la mesourania (dif. = 0,74), por el índice máxilo-alveolar. Paladar medianamente largo y ancho, aunque poco profundo, con la sutura palatina transversa completamente sinostosada. Arco alveolar de tipo upsiloide, con reabsorción completa, salvo los alvéolos de los incisivos centrales y el del I² derecho, cuyas piezas han caído *post-mortem*.

Agujero occipital de forma elíptica, pequeño y ancho. Cóndilos occipitales medianos, pero anchos y curvados. Cavidades glenoideas medianas, estrechas y profundas, con tubérculo post-glenoideo débil.

CARACTERES METRICOS

Se ha empleado la técnica de Martin⁴ para la obtención de las medidas del ejemplar estudiado, así como para el cálculo de los índices correspondientes, cuyos valores reproducimos a continuación.

CUADRO 1
Cráneo cerebral

Capacidad (Pearson)	1.326,23 c.c.
Peso del cráneo	545 g.
Módulo craneal	147
Longitud máxima	183
Longitud de la base	97
Anchura máxima	131
Anchura frontal mínima	90
Anchura frontal máxima	114
Anchura biastérica	106
Altura basio-bregma	127
Altura auricular	110,5
Perímetro horizontal	508
Arco transversal	302
Arco sagital total	375
Arco sagital frontal	129
Arco sagital parietal	126
Arco sagital occipital	120
Arco sagital de la escama	79
Cuerda sagital frontal	113
Cuerda sagital parietal	111
Cuerda sagital occipital	97
Cuerda sagital de la escama	71
Índice cefálico	71,58
Índice vértico-longitudinal	69,40
Índice aurículo-longitudinal	60,38
Índice vértico-transversal	96,95
Índice aurículo-transversal	84,35
Índice transverso frontal	78,95
Índice transverso fronto-parietal	68,70

Indice transverso parieto-occipital	80,92
Indice sagital total (Mollison)	386,60
Indice sagital frontal	87,60
Indice sagital parietal	88,10
Indice sagital occipital	80,83
Indice sagital de la escama	89,87

CUADRO 2

Cara superior

Longitud de la cara	96 ?
Anchura biorbitaria	90
Anchura bicigomática	121 *
Altura de la cara superior	65 ?
Anchura interorbitaria	21
Anchura de la órbita (derecha)	41
Anchura de la órbita (izquierda)	40
Altura de la órbita (derecha)	30
Altura de la órbita (izquierda)	31
Anchura nasal	21,5
Altura nasal	49
Longitud máxilo-alveolar	54 ?
Anchura máxilo-alveolar	59
Longitud del paladar	47
Angulo del perfil total	81° ?
Angulo del perfil nasal	83°
Angulo del perfil alveolar	71,5° ?
Angulo de Weisbach	70,5° ?
Indice facial superior	53,72 ?
Indice interorbitario	23,33
Indice orbitario (derecha)	73,17
Indice orbitario (izquierda)	77,50
Indice orbitario medio	75,31
Indice nasal	43,88
Indice máxilo-alveolar	109,26 ?
Indice gnático de Flower	98,97 ?
Indice fronto-cigomático	74,38
Indice transverso cráneo-facial	92,37

COMPARACIONES

Se compara el ejemplar estudiado con la serie masculina neo-eneolítica valenciana, de predominio racial mediterráneo grácil, elaborada por Fusté⁵, que se toma como base. En el diagrama (Fig. 1) se observan, ante

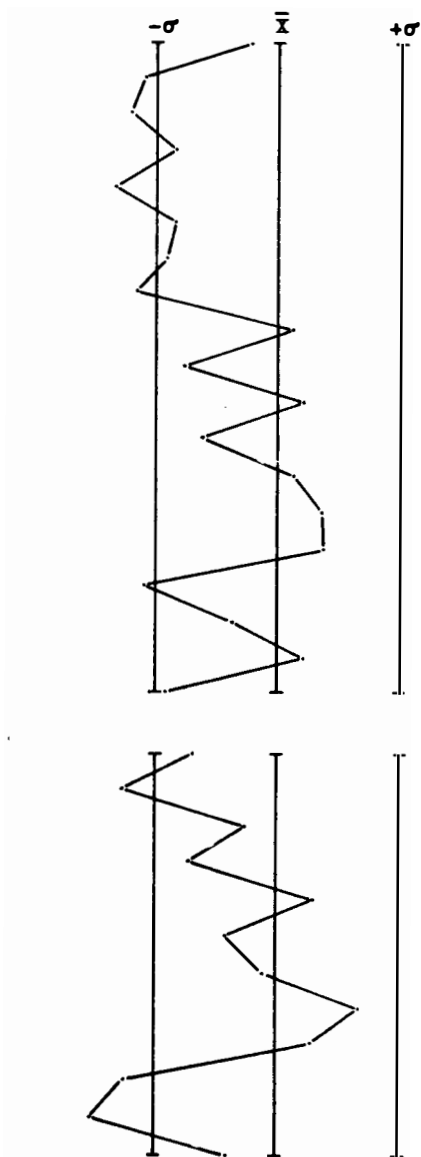
?) Medida dudosa

*) Medida por simetría

NEUROCRÁNEO

Longitud máxima
 Anchura máxima
 Anchura frontal mínima
 Anchura frontal máxima
 Altura basio-bregma
 Altura auricular
 Perimetro horizontal
 Arco transversal
 Arco sagital total
 Longitud de la base
 Arco sagital frontal
 Arco sagital parietal
 Arco sagital occipital
 Arco sagital de la escama
 Cuerda sagital frontal
 Cuerda sagital parietal
 Cuerda sagital occipital
 Cuerda sagital de la escama
 Capacidad (Pearson)

Índice cefálico
 Índice vértico-longitudinal
 Índice vértico-transversal
 Índice auriculo-longitudinal
 Índice auriculo-transversal
 Índice transverso frontal
 Ind. transverso fronto-parietal
 Índice sagital total
 Índice sagital frontal
 Índice sagital parietal
 Índice sagital occipital
 Índice sagital de la escama



Serie base: Neo-eneolíticos valencianos ♂

Cráneo comparado: La Zubia ♂

todo, las menores dimensiones, en general, del cráneo de La Zubia con respecto al promedio de la serie base. Entre los 19 caracteres comparados del neurocráneo, tan sólo en cinco de ellos las desviaciones de las medidas absolutas son menores de una unidad sigma: anchura máxima, anchura frontal mínima, altura basio bregma, arco transversal y cuerda parietal. En los índices correspondientes, únicamente el vértico-longitudinal y los sagitales parietal y occipital rebasan el valor negativo de sigma. Las desviaciones de la cara superior son menos acentuadas y tan sólo la anchura bicigomática, entre las medidas absolutas, y los índices nasal y gnático rebasan ligeramente la dispersión cuadrática (Fig. 2).

En resumen, por tratarse de desviaciones individuales y no de promedios, son poco significativas las divergencias del ejemplar estudiado con respecto a los promedios de los diversos caracteres de la serie base, pudiendo ser incluido en el subtipo mediterráneo grácil, predominante en la población valenciana de época neo-eneolítica con que se compara.

DIAGNOSTICO TIPOLOGICO

La observación craneoscópica y, sobre todo, el análisis métrico comparativo coinciden en orientar el diagnóstico del cráneo de La Zubia hacia el subtipo racial mediterráneo grácil, ya que entre las características más significativas del neurocráneo del ejemplar estudiado destacan: Aspecto general fino y grácil; contorno de la norma superior ovoide; metriometope próximo a la eurimetopia según el índice transverso fronto-parietal; el índice cefálico denota dolicrocraea; en la norma lateral el perfil sagital presenta un ligero aplastamiento post-obélico y por el índice vértico-longitudinal es cameocráneo, aunque muy próximo a la ortocránea; en la norma posterior es bombiforme y metriocráneo por los índices vértico y auriculo-transversal; la capacidad craneana es mediana (euencéfalo).

En el esplanocráneo, las características más importantes son: Altura de la cara superior mediana (meseno), tendiendo hacia la leptenia; órbitas algo bajas (cameconco), pero próximo a la mesoconquia, y nariz estrecha y alargada (leptorrino).

Por observarse en la norma posterior metriocránea con tendencia a la acrocraea y presentar las órbitas bajas y rectangulares, podría pensarse en una forma de tránsito hacia el tipo cromañoide, pero al faltar la clásica desarmonía cráneo-facial de éste, responde mejor, con bastante probabilidad, a una variante extrema del tipo mediterráneo.

* * *

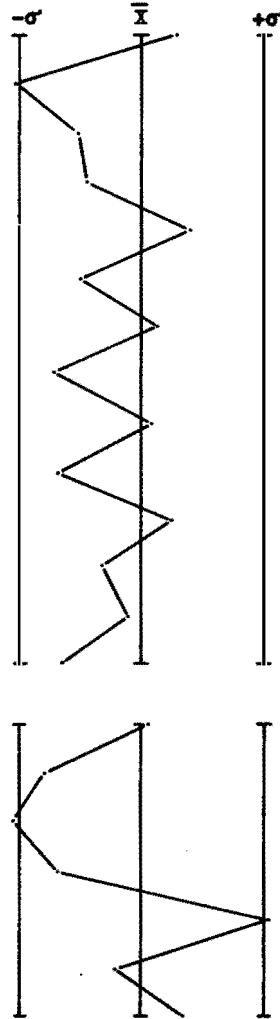
Como es bien sabido, el subtipo racial mediterráneo grácil constituye el substrato básico más generalizado de la población peninsular, desde el Neolítico hasta la época actual. En efecto, su presencia se ha señalado en el Neolítico y Bronce I de La Meseta y Levante⁶, en la Edad del Bronce de Andalucía⁷, en época romana en Tarragona y Ampurias⁸, en visigodos de la Meseta⁹, en judíos medievales de Barcelona¹⁰, en árabes andaluces¹¹ y en la población española actual¹². El análisis de todas estas series permite afirmar la existencia de una gran homogeneidad tipológica en la Península Ibérica a lo largo de más de seis milenios, siendo notable la estabilidad de su población, que no podía faltar en la región granadina, como lo demuestra el análisis antropológico de los restos humanos de diversas edades, desde la Prehistoria hasta nuestros días.

NOTAS

- 1.-Martínez, G. y otros: Prospecciones en el Cono de Deyección de la Zubia. "Cuad. Preh. Univ. Granada", 4, 1979.
- 2.-Arribas, A.: Las bases actuales para el estudio del Eneolítico y la Edad del Bronce en el Sudeste de la Península Ibérica, "Cuad. Preh. Univ. Granada", 1, 1976, pp. 139-155.
- 3.-Dérobert, L. y Fully, G.: Etude critique de la valeur du degré d'oblitération des sutures crâniennes pour la détermination de l'âge, d'après l'examen de 480 crânes, "Annales de Médecine Légale", vol. 40, núm. 2, Paris 1960, pp. 154-165.
- 4.-Martin, R.: Lehrbuch der Anthropologie in systematischer Darstellung, 3.ª edic., por K. Saller, Edit. G. Fischer. Stuttgart 1957
- 5.-Fusté Ara, M.: Estudio antropológico de los pobladores neo-eneolíticos de la región valenciana, "Trab. Varios" del S.I.P., 20, Valencia 1957.
- 6.-Barras de Aragón, F.: Notas sobre restos humanos prehistóricos, protohistóricos y antiguos de España, "Act. y Mem. Soc. Esp. Antrop., Etnogr. y Preh.", XII, Madrid 1933, pp. 149-207; Fusté Ara, M.: Estudio antropológico. . ., op. cit. nota 5; Garralda, M.ª D.: Estudio antropológico de la población del Neolítico y Bronce I de la Península Ibérica, Resumen de Tesis Doctoral, Facultad de Filosofía y Letras, Universidad Complutense de Madrid, 1975.
- 7.-García Sánchez, M.: Restos humanos del Paleolítico medio y superior y del Neo-eneolítico de Piñar (Granada), "Trab. Inst. B. de Sahagún de Antrop. y Etnol.", XV, 2, Barcelona 1960, pp. 17-74; García Sánchez, M.: Restos humanos eneolíticos procedentes de los dólmene de Gorafe (Granada), "A.P.L.", IX, Valencia 1961, pp. 49-78; García Sánchez, M., Carrasco, J., y Arias, A.: Enterramiento de la Edad del Bronce de la Cueva de Frage, en Cerro Oscuro (Iznalloz, Granada), "Cuad. Preh. Univ. Granada", 1, 1976, pp. 119-124; García Sánchez, M., Carrasco, J., y Anibal, C.: Enterramiento eneolítico colectivo en la Cueva de la Presa de Loja (Granada), "Cuad. Preh. Univ. Granada", 2, 1977, pp. 105-172; Botella, M.C.: Estudio antropológico de los restos humanos de la Cueva de la Pintá (Piñar, Granada), "N.A.H.", XVI, Madrid 1971, pp. 143-157; Botella, M.C.: Antropología de las poblaciones argáricas, Tesis Doctoral, Facultad de Medicina, Universidad de Granada (Inédita), 1976.
- 8.-Pons Rosell, J.: Restos humanos procedentes de las necrópolis de época romana de Tarragona y Ampurias (Gerona), "Trab. Inst. B. de Sahagún de Antrop. y Etnol.", VII, Barcelona 1949, pp. 19-202.
- 9.-Varela López, T.A.: Estudio antropológico de los restos óseos procedentes de necrópolis visigodas de la Península Ibérica, "Trab. de Antropología", XVII, núms. 2-4, Madrid 1974-75, pp. 7-157.
- 10.-Prevosti, M.ª y A.: Restos humanos procedentes de una necrópolis judaica de Montjuich (Barcelona), "Trab. Inst. B. de Sahagún de Antrop. y Etnol.", XII, Barcelona 1951, pp. 65-148.
- 11.-Souich, Ph. du: Estudio antropológico de la necrópolis medieval de La Torrecilla (Arenas del Rey, Granada), Tesis Doctoral, Facultad de Filosofía y Letras, Univ. de Granada (Inédita), 1978.
- 12.-Aranzadi, T. y Hoyos Sainz, L.: Unidades y constantes de la Crania Hispánica, "Asoc. Esp. Progr. Ciencias", Congreso de Granada, vol. V, p. 29.

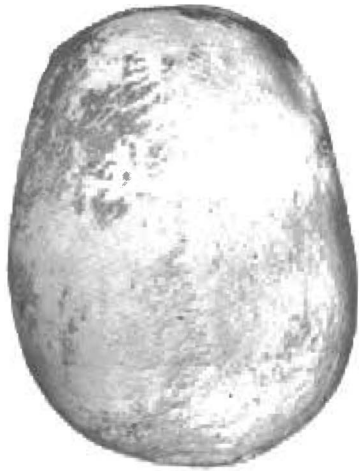
ESPLACNOCRÁNEO

Longitud de la cara
 Anchura bicigomática
 Altura de la cara superior
 Altura de las órbitas (media)
 Anchura de las órbitas (media)
 Anchura interorbitaria
 Altura nasal
 Anchura nasal
 Longitud máxilo-alveolar
 Anchura máxilo-alveolar
 Longitud del paladar
 Angulo del perfil total
 Angulo del perfil nasal
 Angulo del perfil alveolar
 Índice facial superior
 Índice orbitario (media)
 Índice nasal
 Índice máxilo-alveolar
 Índice gnático de Flower
 Índice fronto-cigomático
 Índice transv. cráneo-facial

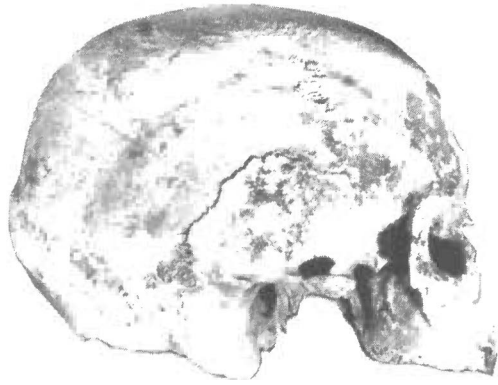


Serie base: Neo-eneolíticos valencianos ♂

Cráneo comparado: La Zubia ♂



a

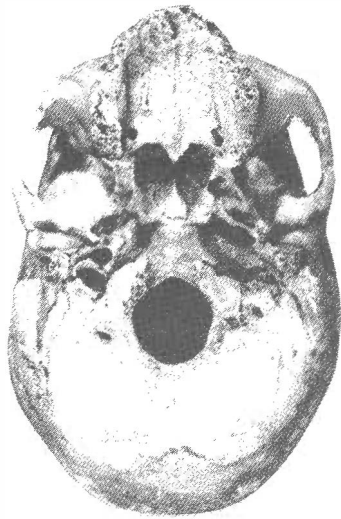


b



c

Cráneo de La Zubia.—Orientado según el plano auriculo-orbitario. (Reducción aproximada 1/3).



a



b



c

Cráneo de La Zubia.—Orientado según el plano aurículo-orbitario. (Reducción aproximada 1/3)